

# Случайный лазер на основе материалов в виде сложных сетевых структур

А. Ю. Баженов<sup>+</sup>, М. М. Никитина<sup>+</sup>, Д. В. Царёв<sup>+</sup>, А. П. Алоджанц<sup>+1)</sup>

<sup>+</sup>Национальный исследовательский университет ИТМО,  
197101 С.-Петербург, Россия

Поступила в редакцию 18 апреля 2023 г.

После переработки 22 апреля 2023 г.

Принята к публикации 22 апреля 2023 г.

В работе впервые предложена теория случайного лазера, интерфейс которого составляют случайные, или безмасштабные сети, в узлах которых находятся микрорезонаторы с квантовыми двухуровневыми системами. Микрорезонаторы связаны между собой светопроводящими каналами, образующими ребра сети. Показано, что такой лазер обладает рядом особенностей в спектре, связанных со статистическими свойствами сетевой структуры. Среди них – существование топологически защищенного собственного значения Перрона, обусловленного наличием сильного среднего поля в узле максимального влияния, расположенного в центральной части сети, делокализация/локализация мод излучения в зависимости от вероятности связи произвольных микрорезонаторов между собой. Полученные результаты открывают перспективы в области создания новых низкопороговых источников лазерного излучения.

DOI: 10.31857/S1234567823110046, EDN: djcfic

Случайные лазеры (СЛ) можно назвать одним из наиболее интересных проявлений образования макроскопической когерентности в результате случайного рассеяния света в неупорядоченной, оптически активной среде [1]. Основные физические принципы, на которых функционируют современные СЛ, фактически были предложены еще В. С. Летоховым для атомных систем [2]. Эти принципы постоянно дополняются и уточняются с учетом того многообразия сред, в которых эффект СЛ наблюдается в эксперименте [1, 3–5]. Поскольку такие лазеры не требуют наличия внешних резонаторов, их свойства определяются величиной рассеяния излучения в среде. Слабое рассеяние фотонов на частицах среды формирует диффузионный режим СЛ, в то время как сильное рассеяние ведет к андерсоновской локализации излучения [3]. По сути, эти ключевые свойства и делают СЛ весьма полезными на практике.

Однако до сих пор требует изучения вопрос о том, в какой мере неупорядоченность среды может влиять на режимы СЛ, ср. с [6]. В этой связи выделим работу [4], где авторы продемонстрировали реализацию СЛ на структуре нановолокон, образующей случайный граф, помещенных в краситель родамин 6G, “ответственный” за усиление излучения. В [7, 8] при анализе формирования когерентного (на макроскопическом уровне) излучения в сложных сетевых структу-

рах нами было показано, что порог лазерной генерации быстро убывает с увеличением связности графа, моделирующего среду, что экспериментально было выявлено в [4] для СЛ. Здесь уместно отметить, что исследование таких сложных сетевых структур является одним из наиболее интересных и важных направлений современной физики, имеющим ярко выраженное междисциплинарное значение [9].

Целью работы является выяснение физики формирования лазерного излучения в среде, топологически представляющей собой случайный (рис. 1а), или безмасштабный (рис. 1б) ненаправленный граф, образованный связанными микрорезонаторами (МР).

Рассматриваемую систему можно представить как некоторую сеть, в узлах которой находятся двухуровневые системы (ДУС), к примеру, квантовые точки. Этого можно добиться, например, как в [5], разместив ДУС в фотонокристаллической структуре, обладающей каналами распространения фотонов. С другой стороны, ДУС можно поместить в МР, физически представляющие связанные между собой микростолбики [10]. В данной работе для определенности остановимся на модели связанных МР, ср. с [11]. Таким образом, модель СЛ представляет собой  $N$  МР, каждый из которых содержит одинаковые ДУС, характеризуемые резонансной частотой (энергией) перехода  $\omega_0$ . Микрорезонаторы находятся в узлах сложной сети, ребра которой без потерь проводят свет. Поле в каждом  $i$ -м МР характеризуется опе-

<sup>1)</sup>e-mail: alexander\_ap@list.ru

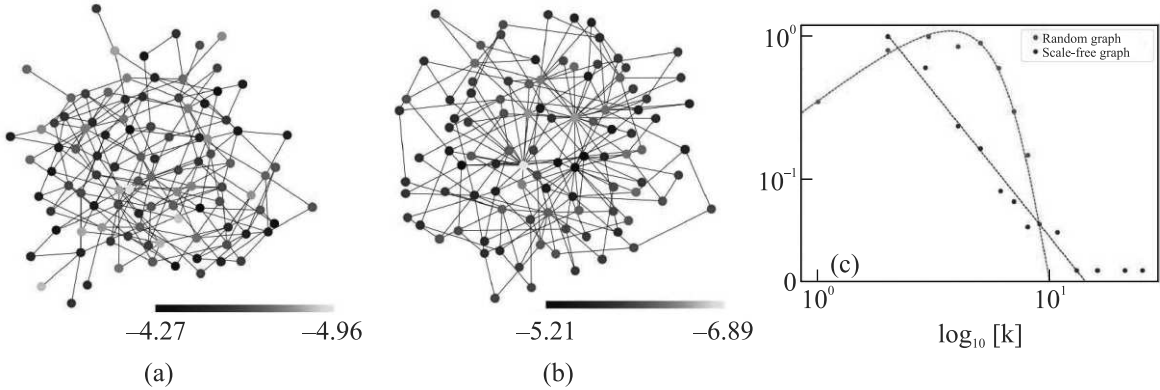


Рис. 1. (Цветной онлайн) Интерфейс среды случайного лазера в виде: (а) – случайной ( $k_{\max} = 9$ ,  $k_{\min} = 1$ ) и (б) – безмасштабной ( $k_{\max} = 25$ ,  $k_{\min} = 2$ ) сети при  $N = 100$ ;  $k_{\max}/\min$  – максимальное/минимальное значение степеней узлов. Цветовые панели характеризуют собственные значения матрицы смежности  $\tau_{ij}$ . (с) – Распределение степеней узлов соответствующих сетей в двойном логарифмическом масштабе. Остальные детали приведены в тексте

ратором уничтожения (рождения)  $\hat{f}_i$  ( $\hat{f}_i^\dagger$ ) фотонов,  $i = 1, \dots, N$ . В рамках приближения врачающейся волны оператор Гамильтона системы можно представить в виде (ср. с [12]):

$$\hat{H} = \hbar \sum_{i=1}^N \left[ \frac{\omega_0 \hat{\sigma}_i^z}{2} + \omega_{ph,i} \hat{f}_i^\dagger \hat{f}_i + g(\hat{f}_i \hat{\sigma}_i^+ + \hat{f}_i^\dagger \hat{\sigma}_i^-) \right] - \frac{\hbar J}{2} \sum_{i,j=1}^N \tau_{ij} (\hat{f}_j^\dagger \hat{f}_i + \hat{f}_i^\dagger \hat{f}_j), \quad (1)$$

где ДУС  $i$ -го МР характеризуется оператором инверсии  $\hat{\sigma}_i^z$ , а также лестничными операторами,  $\hat{\sigma}_i^\pm$ ;  $g$  – параметр взаимодействия ДУС с квантовой модой поля  $i$ -го МР частоты  $\omega_{ph,i}$ . В (1)  $J > 0$  определяет взаимодействие МР между собой посредством волноводов (фотонных каналов), которое учитывается с помощью матрицы смежности  $\tau_{ij}$ , элементы которой обладают свойствами  $\tau_{ij} = \tau_{ji}$ ,  $\tau_{ii} = 0$ . При этом  $p_{ij}$  есть вероятность связи между  $i$ -м и  $j$ -м МР (в таком случае соответствующий элемент матрицы смежности  $\tau_{ij} = 1$ ,  $i \neq j$ ).

На рисунке 1 приведен интерфейс СЛ в виде случайной сети Эрдеша–Рényи (рис. 1а), а также безмасштабной сети (рис. 1б), смоделированных численно с помощью библиотеки Python NetworkX, соответственно. Последовательности точек и аппроксимирующие их кривые на рис. 1с представляют функции распределения степеней узлов этих сетей в двойном логарифмическом масштабе. А именно, кривые удовлетворяют пуассонскому ( $p_k = \frac{1}{k!} \langle k \rangle^k e^{-\langle k \rangle}$ ) и степенному ( $p_k \propto k^{-\eta}$ ) законам распределения;  $\langle k \rangle = \frac{1}{N} \sum_j k_j = \frac{1}{N} \sum_{i,j} \tau_{ij}$  – средняя степень узлов. Параметры моделирования подобраны таким обра-

зом, чтобы оба графа на рис. 1 имели схожие статистические характеристики. В частности,  $\langle k \rangle = 4.04$ ,  $\zeta = 4.88$  для случайной сети, где  $\zeta \equiv \sum_i k_i^2 / N \langle k \rangle$  определяет нормированный второй момент степеней узлов. Степень  $\eta$  для безмасштабной сети, а также ее статистические свойства можно оценить в континуальном приближении, воспользовавшись подходами, изложенными в [9]; полагая  $k_{\max} = k_{\min} N^{\frac{1}{\eta-1}}$  получаем  $\eta \simeq 2.82$ , в результате чего имеем  $\langle k \rangle = 3.9$ ,  $\zeta = 6.1$ , соответственно. Заметим, что безмасштабная сеть обладает хабами – узлами наибольшей связности, присутствующими в виде четырех синих точек для функции распределения в правом нижнем углу на рис. 1с.

В работе мы используем подход Гейзенберга–Ланжевена в приближении среднего поля, который с учетом (1) приводит к системе уравнений типа Максвелла–Блоха:

$$\dot{\mathcal{E}}_i = (-i\omega_{ph,i} - \kappa_i) \mathcal{E}_i - ig \bar{P}_i + iJ \sum_j \tau_{ij} \mathcal{E}_j; \quad (2a)$$

$$\dot{\bar{P}}_i = (-i\omega_0 - \Gamma) \bar{P}_i + ig \sigma_i^z \mathcal{E}_i; \quad (2b)$$

$$\dot{\sigma}_i^z = (\gamma_P - \gamma_D) - (\gamma_P + \gamma_D) \sigma_i^z + 2ig(\mathcal{E}_i^* \bar{P}_i - \mathcal{E}_i \bar{P}_i^*), \quad (2c)$$

где  $\mathcal{E}_i = \langle \hat{f}_i \rangle$ ,  $\bar{P}_i = \langle \hat{\sigma}_i^- \rangle$ ,  $\sigma_i^z = \langle \hat{\sigma}_i^z \rangle$  – средние значения соответствующих операторных величин;  $\Gamma$  – скорость затухания поляризации, которую считаем одинаковой для всех ДУС,  $\kappa_i$  – скорость потерь фотонов в  $i$ -м МР,  $\gamma_P$  – скорость накачки,  $\gamma_D$  – скорость затухания инверсии. Далее, уберем “быстрые” колебания и рассмотрим стационарные состояния систе-

мы на частоте  $\omega$ , положив в (2)  $\bar{P}_i(t) = P_i e^{-i\omega_0 t - i\omega t}$ ,  $\mathcal{E}_i(t) = E_i e^{-i\omega_0 t - i\omega t}$ , откуда имеем:

$$(\omega - \Delta_i + i\kappa_i)E_i - gP_i + J \sum_{j=1}^N \tau_{ij}E_j = 0; \quad (3a)$$

$$(i\Gamma + \omega)P_i + g\sigma_i^z E_i = 0, \quad (3b)$$

где  $\Delta_i = \omega_{ph,i} - \omega_0$  – отстройка от резонанса для  $i$ -го МР, величину которой полагаем относительно небольшой, т.е.  $|\Delta_i| < g$  для всех  $i = 1, \dots, N$ . При этом среднюю инверсию населенности в (2c) считаем заданной, так что  $\dot{\sigma}_i^z = 0$  и  $\sigma_i^z \simeq \frac{\gamma_P - \gamma_D}{\gamma_P + \gamma_D}$ , ср. с [6].

Физически значение  $\omega = 0$  в (3) означает эволюцию как (среднего) поля, так и поляризации на частоте  $\omega_0$ , соответствующей частоте перехода ДУС.

Разрешая уравнение (3b) относительно поляризации  $P_i$  и подставив его в (3a), получаем уравнение для комплексной амплитуды поля  $E_i$   $i$ -го МР в виде:

$$\{(\omega - \Delta_i + i\kappa_i)\omega_\Gamma + \sigma_i^z\} E_i + J\omega_\Gamma \sum_{j=1}^N \tau_{ij}E_j = 0, \quad (4)$$

где  $\omega_\Gamma \equiv \omega + i\Gamma$ ; параметры  $\omega$ ,  $\Delta_i$ ,  $\kappa_i$ ,  $\Gamma$ ,  $J$  нормированы на  $g$ .

Проанализируем важный предельный случай (4), допуская  $i$ -й МР изолированным от остальной сетевой структуры. Тогда, полагая в (4)  $\tau_{ij} = 0$ , приходим к выражениям

$$\omega_{1,2} = -i\chi_{+,i} + \frac{1}{2} \left( \Delta_i \pm \sqrt{(\Delta_i - 2i\chi_{-,i})^2 - 4\sigma_i^z} \right), \quad (5)$$

определенным характерные высокочастотные ( $\omega_1$ ) и низкочастотные ( $\omega_2$ ) элементарные колебания соответственно;  $\chi_{\pm,i} \equiv (\kappa_i \pm \Gamma)/2$ . Заметим, что физически отрицательная мнимая часть частоты ( $\text{Im}[\omega] < 0$ ) в (5) отвечает за диссиацию энергии в системе, в то время как при  $\text{Im}[\omega] > 0$  происходит усиление, обусловленное инверсией. А именно, в безинверсном случае, т.е. при  $\sigma_i^z \simeq -1$ , характерные частоты  $\omega_{1,2}$  соответствуют обычным поляритонам верхней и нижней дисперсионных ветвей [13]. В пределе максимальной инверсии  $\sigma_i^z \simeq 1$  образуются поляритоны Рамановского типа, соответствующие усилинию излучения в среде [14]. Далее нас интересуют условия перехода рассматриваемой системы МР к лазерной генерации, когда  $0 \leq \sigma_i^z \leq 1$ . Для численных расчетов удобно использовать исходную систему (3), полагая, что отстройка  $\Delta_i$ , а также  $\kappa_i$  для произвольной  $i$ -й моды СЛ есть случайные величины, равномерно распределенные в некоторых промежутках, ср. с [6].

На рисунке 2 представлены зависимости мнимых частей собственных частот СЛ от вещественных значений этих же частот, находящиеся несколько ниже порога генерации, определяемого условием  $\text{Im}[\omega] = 0$ , и соответствующие графикам на рис. 1. Как и ожидалось, формируются две области решений, соответствующие характерным частотам  $\omega_{1,2}$ . Численные значения нормированных на  $g$  параметров  $\kappa_i$ ,  $\Gamma$  для зависимостей на рис. 2 и ниже в статье выбраны таким образом, чтобы выполнялось (хотя, и на “пределе”) условие сильной связи между каждым ДУС и полем,  $\kappa_i, \Gamma < 1$ , ср. с [10].

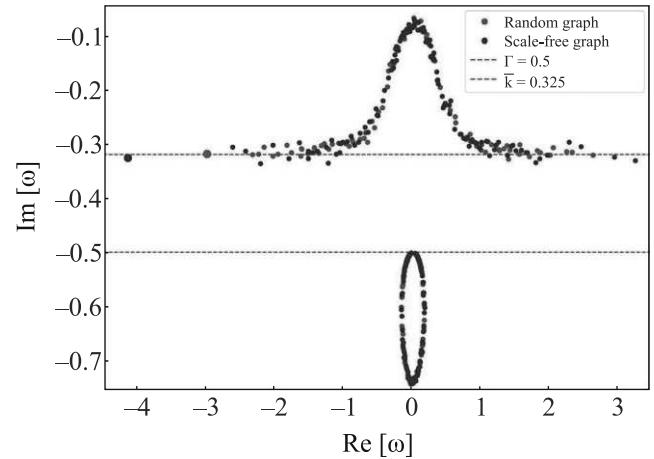


Рис. 2. (Цветной онлайн) Положение собственных частот СЛ на комплексно-вещественной плоскости для  $\omega$ , соответствующих случайной (красный цвет) и безмасштабной (синий цвет) сетям, приведенным на рис. 1 при  $\sigma_i^z = 0.1$ ,  $\Gamma = 0.5$ ,  $J = 0.6$ . Параметры  $\Delta_i$  и  $\kappa_i$  – случайные величины, принимающие с равной вероятностью значения в интервалах  $[-0.5, 0.5]$  и  $[0.5\Gamma, 0.8\Gamma]$  соответственно

Выясним закономерности группирования точек на рис. 2. Поскольку оба графа на рис. 1 имеют близкие статистические характеристики, выражаемые величинами  $\langle k \rangle$  и  $\zeta$ , то и условные “огибающие” приведенных на рис. 2 дискретных зависимостей достаточно близки между собой. Принципиальной особенностью спектра собственных частот является наличие изолированного (максимального по величине) собственного значения Перрона, СЗП (Perron eigenvalue) – крайние (слева) жирные точки для каждого из графов на рис. 2. Это связано непосредственно со свойствами спектра матрицы смежности  $\tau_{ij}$  для сложных сетей, для которых СЗП заключено в интервале значений  $[\langle k \rangle, k_{\max}]$ , см. например, [15]. На рисунке 1а и 1б СЗП соответствуют светло-желтым узлам, находящимся приблизительно в центре графов. В частности, теорема Перрона–Фробениуса

гарантирует (для  $\tau_{ij}$ ) существование невырожденного положительного максимального СЗП с полностью положительными элементами собственного вектора; поскольку в (1)  $\tau_{ij}$  присутствует с отрицательным знаком, то и соответствующие СЗП находятся в отрицательной области собственных частот на рис. 2.

Заметим, что СЗП вовсе не обязано соответствовать хабу, т.е. узлу, обладающему максимальной связностью. СЗП характеризует узел максимального влияния, определяемый по критерию собственных векторов (*eigenvector centrality*) [16]. Например, случайные сети не обладают хабами вовсе, но узел максимального влияния для них существует – светло-желтая точка на рис. 1а. Физически существование таких узлов связано с наличием ненулевого усредненного (по узлам сети) поля  $\bar{E}$ :

$$\bar{E} = \frac{1}{N\langle k \rangle} \sum_{j=1}^N k_j E_j, \quad (6)$$

где  $k_j = \sum_i \tau_{ij}$  есть степень  $j$ -го узла.

Для исследования СЗП воспользуемся аппроксимацией отожженной сети для матрицы смежности в виде  $\tau_{ij} = \frac{k_i k_j}{N\langle k \rangle}$  (ср. с [7, 9]), и подставим ее в (4). Разрешив полученное уравнение относительно  $E_i$ , получим

$$E_i = -\frac{J(\omega_P + i\Gamma)k_i \bar{E}}{\{(\omega_P - \Delta_i + i\bar{\kappa})(\omega_P + i\Gamma) + \sigma^z\}}, \quad (7)$$

где  $\bar{\kappa}$  – определяет средний уровень потерь фотонов в заданном интервале значений  $\kappa_i$ ,  $\omega_P$  – СЗП для частоты. Выражение (7) означает, что поле в  $i$ -м узле, соответствующем СЗП, полностью определяется средним полем  $\bar{E}$ , создаваемым сетевой структурой. Подставляя (7) в (6) для  $\omega_P$ , получим:

$$\text{Re}[\omega_{P,1}] \simeq -J\zeta, \quad \text{Im}[\omega_{P,1}] \simeq -\bar{\kappa}, \quad (8a)$$

$$\text{Re}[\omega_{P,2}] = 0, \quad \text{Im}[\omega_{P,2}] = -\Gamma, \quad (8b)$$

где мы опустили отстройку  $\Delta_j$  в случае ее малости по сравнению с величиной  $J\zeta$ , а также для простоты рассмотрели случай  $\sigma^z \simeq 0$ . Результаты (8) согласуются с численным моделированием, см. рис. 2:  $\text{Im}[\omega_{P,1}]$  соответствует розовой пунктирной линии. При этом характерная частота в нижней области  $\omega_{P,1}$  остается мнимой:  $\text{Im}[\omega_{P,2}]$  соответствует зеленой линии на рис. 2, что физически означает быструю диссиацию низкочастотных возмущений в присутствии высокочастотных колебаний на частоте СЗП  $\text{Re}[\omega_{P,1}]$ . Заметим, что поскольку параметр  $\zeta$  для безмасштабной сети больше (по абсолютной величине), чем для случайной (ср. с [7]), то СЗП в первом случае (синяя жирная точка) находится левее СЗП для случайной сети – красная жирная точка на рис. 2.

Рассмотрим теперь точки на рис. 2, которые располагаются вдоль среднего уровня потерь фотонов  $\text{Im}[\omega] = -\bar{\kappa}$ , и для которых  $E_i \simeq E_j$ . Данное допущение оправдано опять же в виду свойств матрицы смежности, обладающей относительно большим по величине СЗП, и меньшими остальными собственными значениями, см. [15]. В эту группу попадают как точки, которые обладают существенным влиянием, так и хабы, которые имеются в безмасштабной сети, см. рис. 1б. В результате, с помощью (4) для характерных частот имеем:

$$\omega_{1,2} = -i\chi_{\pm} + \frac{1}{2} \left( \delta_i \pm \sqrt{(\delta_i - 2i\chi_{\pm})^2 - 4\sigma^z} \right), \quad (9)$$

где введены обозначения  $\chi_{\pm} \equiv (\bar{\kappa} \pm \Gamma)/2$ ,  $\delta_i \equiv \Delta_i - Jk_i$  – отстройка от резонанса, учитывающая также степень  $i$ -го узла  $k_i$ . Далее, анализ рассматриваемых точек удобно провести в пределе  $|\delta_i| \simeq \simeq Jk_i \gg \sqrt{(\kappa_i - \Gamma)^2 + 4\sigma^z}$ , т.е. в предположении, что величина  $Jk_i$  достаточно велика. Тогда из (9) имеем (ср. с (8))

$$\text{Re}[\omega_1] \simeq -Jk_i + \frac{\sigma^z}{Jk_i}, \quad \text{Im}[\omega_1] \simeq -\bar{\kappa}, \quad (10a)$$

$$\text{Re}[\omega_2] \simeq -\frac{\sigma^z}{Jk_i}, \quad \text{Im}[\omega_2] \simeq -\Gamma, \quad (10b)$$

что хорошо совпадает с численным расчетом на рис. 2. При этом разброс положительных значений собственных частот вдоль оси абсцисс больше у безмасштабной сети, поскольку крайние (справа) синие точки соответствуют хабам.

Рассмотрим теперь точки на рис. 2, расположенные в относительно узкой (вертикальной) полосе значений  $-1 < \text{Re}[\omega] < 1$ . Это – две группы точек, плотно располагающихся в верхней и нижней части рис. 2, и соответствующих основному массиву СЗ системы (3), составляющих также основу СЗ матрицы смежности  $\tau_{ij}$ , ср. с [15]. Принципиальным их поведением является тот факт, что собственные значения, соответствующие этим точкам, могут “притягиваться” друг к другу, что связано со свойством неэрмитовости (случайной) матрицы, соответствующей системе (3), ср. с [17]. Точнее говоря, здесь речь идет о неэрмитовой локализации излучения, которая существенно отличается от (эрмитовой) андре-соновской локализации, проявляющейся в статистических свойствах спектральных характеристик, см., например, [18]. Такая (неэрмитовая) локализация существенно влияет на статистику спектральных линий; в эксперименте со СЛ продемонстрировано отклонение этой статистики от распределения Вигнера

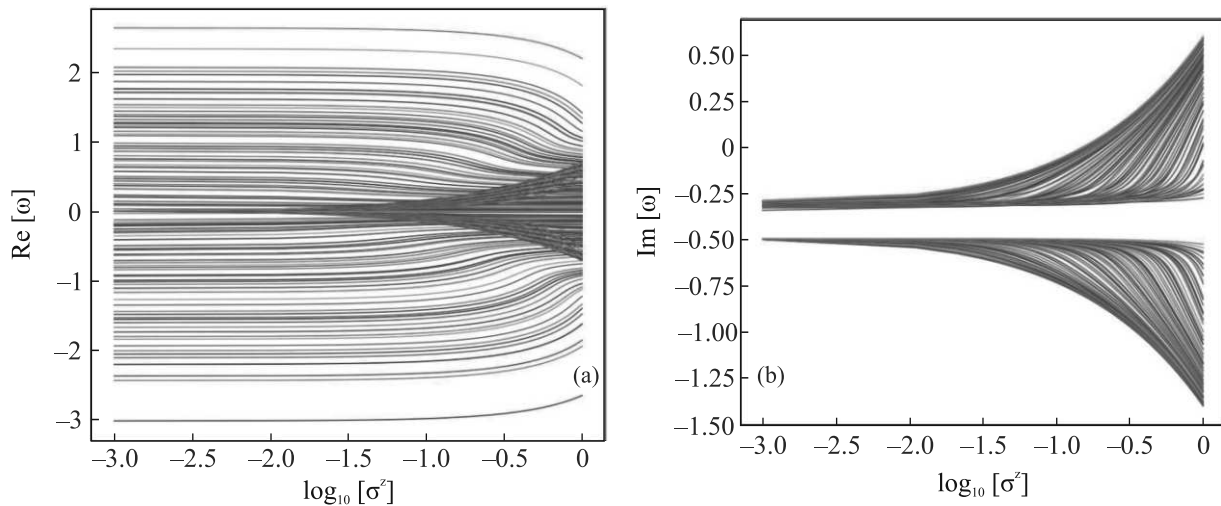


Рис. 3. (Цветной онлайн) Зависимость (а) – действительной  $\text{Re}[\omega]$  и (б) – мнимой,  $\text{Im}[\omega]$ , частей собственных частот СЛ, представляющего собой случайный граф, как функции десятичного логарифма разности населенностей  $\sigma^z$ . Остальные параметры те же, что и на рис. 2

расстояний между уровнями, характерного физике андерсоновской локализации, см. [4, 19].

Моды, описывающие точки из верхней области на рис. 2, первыми стремятся попасть в полуплоскость, где имеется лазерное усиление, т.е.  $\text{Im}[\omega] > 0$ . Их “мобильность” обусловлена тем, что топологически такие точки соответствуют узлам с небольшим числом связей, или наименее значимым узлам, расположенным преимущественно на периферии графов, см. рис. 1, что также подтверждается экспериментальными результатами, полученными для лазерной генерации СЛ на графах [4].

Для нахождения характерных частот точек, группирующихся возле значения  $\omega = 0$ , можно воспользоваться выражениями (9), полагая при этом малой величину  $\delta_i \simeq \Delta_i - Jk_{\min}$ , где  $k_{\min}$  – минимальное значение степеней узлов в графе. Численное моделирование показывает, что лазерная генерация возникает, когда точки вверху рис. 2 выходят в полуплоскость вещественных собственных значений, что определяется условием

$$\sigma^z \simeq \bar{\kappa}\Gamma + \frac{\delta_i^2}{4}. \quad (11)$$

Если при этом выполняются неравенства  $|\delta_i|\chi_-$ ,  $\delta_i^2$ ,  $\chi_-^2 \ll 1$ , то с помощью (9), (11) получаем

$$\text{Re}[\omega_{1,2}] \simeq \frac{\delta_i}{2}, \quad \text{Im}[\omega_1] = 0, \quad \text{Im}[\omega_2] \simeq -2\chi_+, \quad (12)$$

т.е. частота  $\omega_1$  становится вещественной. Заметим, что последним слагаемым (11) в этом пределе можно пренебречь, и тогда условие лазерной генерации при-

обретает весьма универсальный для лазерной физики вид, см. с [20].

На рисунке 3 представлены зависимости  $\text{Re}[\omega]$  и  $\text{Im}[\omega]$  для СЛ, как функции от логарифма инверсии населенностей  $\sigma^z$ . Из рисунка За видно, что точки, расположенные в пределах полосы значений  $-1 < \text{Re}[\omega] < 1$  с увеличением инверсии  $\sigma^z$  приходят в “движение”. Собственные частоты, соответствующие этой группе точек на рис. За, движутся навстречу друг другу, что характеризует эффект затягивания частоты лазерной генерации к частоте перехода в ДУС  $\omega_0$  (в этом случае  $\omega \simeq 0$ ), см. с [6].

С другой стороны, из рис.За следует, что нижняя (синяя) линия, соответствующая частоте СЗП  $\text{Re}[\omega_{P,1}]$  мало меняется с ростом  $\sigma^z$ . Схожим образом ведут себя голубая и желтая линии в верхней части рис. За, соответствующие крайним точкам справа на рис. 2, и узлам, обладающим существенным влиянием в случайной сети, после СЗП, см. рис. 1а. Таким образом, МР, находящиеся в узлах наибольшего влияния, остаются как бы топологически защищенными, и в процессе затягивания частоты практически не участвуют; мнимая часть соответствующих собственных частот в область усиления  $\text{Im}[\omega] > 0$  так и не переходит, см. рис. 3б.

Асимптотическое поведение кривых на рис. 3б при преодолении порога генерации может быть пояснено следующим образом. Пусть система ДУС полностью инвертирована, т.е.  $\sigma^z \simeq 1$ . В этом случае в (9), если положить  $|\delta_i^2 - 4\chi_-^2| \ll 4$ , то вещественная комбинация параметров окажется  $\delta_i^2 - 4 - 4\chi_-^2 < 0$ . Выделив в выражении (9) комплексную и веществен-

ные части (см., например, [13]), в этом пределе можно найти  $\text{Im}[\omega_1] = 1 - \chi_+ \simeq 0.59$  и  $\text{Im}[\omega_2] = -(1 + \chi_+) \simeq -1.41$ , что хорошо согласуется с максимальным и минимальным значениями крайних кривых на рис. 3б при  $\log[\sigma^z] = 0$  соответственно.

Для безмасштабной сети (рис. 1а) характерные зависимости вещественной и мнимой частей частоты  $\omega$  от разности населенностей имеют схожий с рис. 3 вид. Существенные отклонения этих зависимостей возникают, когда распределение степеней узлов происходит по степенному закону  $p_k \propto k^{-\eta}$  в области  $1 < \eta < 2.5$ , ср. с [7]. Для такой сети роль хабов сильно возрастает, что отражается на их спектральных характеристиках: они начинают конкурировать с СЗП за “влияние” в сети. В этом случае, как показывает численный расчет, имеет смысл учитывать корреляции между узлами сети более высокого порядка, чем  $\zeta$ , ср. с (8а). Анализ данного предела нами будет проведен отдельно.

Наконец, в контексте физики СЛ следует обратить внимание на поведение эффективного объема мод, определяемого как (ср. с [6])

$$V_j = \sum_{i=1}^N \frac{1}{\max_i[|E_{i,j}|^2]} |E_{i,j}|^2, \quad (13)$$

где  $E_{i,j}$  – амплитуда поля в  $i$ -м резонаторе для  $j$ -го собственного вектора системы (3).

Влияние статистических свойств случайной сети на свойства локализации состояний в рассматриваемой задаче показано на рис. 4. А именно, здесь приведена усредненная по большому числу реализаций случайных графов, зависимость среднего объема  $V$ , занимающего  $j$ -й модой СЛ, от вероятности  $\mathbf{p} = p_{ij}$ , с которой соединена каждая пара из  $N$  узлов. Средняя степень узлов в этом случае есть просто  $\langle k \rangle = \mathbf{p}(N-1) \simeq \mathbf{p}N$  [9]. Зависимость на рис. 4 рассчитана, начиная со значения  $\mathbf{p} = 0.1$ , соответствующего  $\langle k \rangle \simeq 1$ .

В области  $0 < \langle k \rangle < 1$  случайная сеть состоит из отдельных, мало связанных друг с другом микрорезонаторов, что приводит к чрезмерным (расчетным) флуктуациям среднего объема мод, минимальное значение которого (согласно определению (13)) равно единице при полной локализации произвольной  $j$ -й моды.

С увеличением  $\mathbf{p}$  (что означает рост  $\langle k \rangle$ ) степень связности случайного графа увеличивается. Значение  $\mathbf{p} = 0.1$  на рис. 4 соответствует величине  $\langle k \rangle \simeq 10$ , при которой у графа уже имеется гигантская (связанная) компонента. Таким образом, увеличение среднего объема с ростом средней степени узлов  $\langle k \rangle$

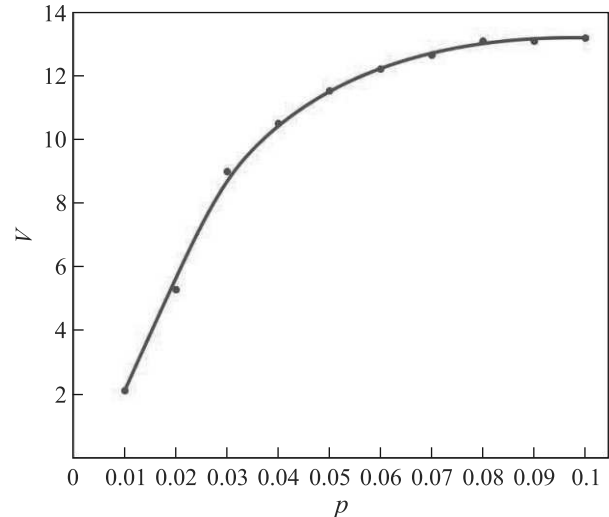


Рис. 4. (Цветной онлайн) Усредненная по большому числу реализаций случайных графов зависимость среднего объема мод  $V$  СЛ от вероятности  $\mathbf{p}$  (точки соответствуют численно полученные зависимости, а сплошная линия – результат их аппроксимации). Остальные параметры те же, что и на рис. 2

свидетельствует об эффекте перехода от локализованных состояний (при  $\langle k \rangle < 1$ ) к делокализации излучения, присущего случайному графу с гигантской компонентой связности. Выход соответствующей кривой на насыщение связан с исчезновением изолированных узлов в случайному графе, что происходит в пределе  $\langle k \rangle \gg 1$ , см. рис. 4.

Заметим, что, как показывает численный расчет, поведение среднего объема мод  $V$  (т.е. проявление эффекта локализации/делокализации излучения) для рассматриваемого в работе СЛ в зависимости от других материальных параметров СЛ (например, инверсии населенностей), может отличаться от “обычных” СЛ, демонстрирующих (почти экспоненциально) делокализацию излучения в своей структуре [6]. В нашем случае этот эффект зависит не только от статистических свойств графа (матрицы смежности), но и от характерных параметров декогерентности, диссипации и отстройки от резонанса, ср. с [17]. В общем случае, для различных комбинаций этих параметров изучение эффекта локализации/делокализации излучения представляется весьма интересной и не тривиальной (по крайней мере, в теории) задачей, которая будет нами проанализирована отдельно.

В заключение, в работе исследована модель связанных микрорезонаторов, содержащих ДУС, и расположенные в узлах комплексной (случайной, или безмасштабной) сети, ребрами которой являются све-

топроводящие каналы, связывающие между собой эти микрорезонаторы. Рассматриваемая система демонстрирует основные свойства случайных лазеров, заключающиеся как в локализации, так и в делокализации светового излучения в зависимости от статистических свойств сетевой структуры. В этом аспекте предложенная модель случайного лазера качественно согласуется с недавними экспериментами, выполненными со СЛ, образованным случайной сетью нановолокон. Вместе с тем, рассмотренная нами модель лазера демонстрирует довольно интересные спектральные свойства, заключающиеся в наличии максимального по величине (уединенного) собственного значения Перрона для частоты. Эти свойства связаны с неодинакостью вклада различных узлов графа (статистических свойств степеней узлов) в процесс лазерной генерации. В последующих публикациях мы собираемся исследовать данные вопросы для более широкого диапазона изменения материальных параметров лазера, чем те, которые были представлены в работе.

Работа выполнена при поддержке гранта Российского научного фонда 23-22-00058 “Когерентные эффекты в двухмерных квантовых материалах с интерфейсом сложных сетей”.

1. D. Wiersma and S. Diederik, *Nature Phys.* **4**, 359 (2008).
2. B. C. Летохов, *ЖЭТФ* **53**, 1442 (1967).
3. C. Hui, Y. Xu Junying, L. Yong, A. L. Burin, E. W. Seeling, X. Liu, and R. P. H. Chang, *IEEE J. Sel. Top. Quantum Electron.* **9**, 111 (2003).
4. M. Gaio, D. Saxena, J. Bertolotti, D. Pisignano, A. Camposeo, and R. Sapienza, *Nat. Commun.* **10**, 226 (2019).
5. L. Sapienza, H. Thyrrstrup, S. Stobbe, P. D. Garcia, S. Smolka, and P. Lodahl, *Science* **327**, 1352 (2010).
6. Ю. В. Юанов, А. А. Зябловский, Е. С. Андрианов, И. В. Доронин, А. А. Пухов, А. П. Виноградов, А. А. Лисянский, *Письма в ЖЭТФ* **112**, 725 (2020).
7. А. Ю. Баженов, М. М. Никитина, А. П. Алоджанц, *Письма в ЖЭТФ* **115**, 685 (2022).
8. A. P. Alodjants, A. Yu. Bazhenov, A. Y. Khrennikov, and A. V. Bukhanovsky, *Sci. Rep.* **12**, 8566 (2022).
9. A.-L. Barabási, *Network Science*, Cambridge University Press (2016).
10. A. Dousse, J. Suffczyński, R. Braive, A. Miard, A. Lemaître, I. Sagnes, L. Lanco, J. Bloch, P. Voisin, and P. Senellart, *Appl. Phys. Lett.* **94**, 121102 (2009).
11. I.-H. Chen, Y.Y. Lin, Y.-C. Lai, E.S. Sedov, A. P. Alodjants, S. M. Arakelian, and R.-K. Lee, *Phys. Rev. A* **86**, 023829 (2012).
12. A. Halu, S. Garnerone, A. Vezzani, and G. Bianconi, *Phys. Rev. E* **87**, 022104 (2013).
13. S. Pau, G. Björk, J. Jacobson, Hui Cao, Y. Yamamoto, *Phys. Rev. B* **51**, 14437 (1995).
14. A. Y. Bazhenov, D. V. Tsarev, and A. P. Alodjants, *Physica B: Condensed Matter* **579**, 411879 (2020).
15. C. Sarkar and S. Jalan, *Chaos* **28**, 102101 (2018).
16. M. E. J. Newman, *Mathematics of Networks*, in *The New Palgrave Dictionary of Economics*, Palgrave Macmillan, London (2018), p. 8525.
17. J. Feinberg and A. Zee, *Phys. Rev. E* **59**, 6433 (1999).
18. M. Sade, T. Kalisky, S. Havlin, and R. Berkovits, *Phys. Rev. E* **72**, 066123 (2005).
19. Г. М. Заславский, *УФН* **129**, 211 (1979).
20. Г. Хакен, *Лазерная светодинамика*, Мир, М. (1988).